

УДК 541.64:547.245

ХИМИЧЕСКАЯ МОДИФИКАЦИЯ ПОЛИВИНИЛТРИМЕТИЛСИЛАНА И ПОЛИ(1-ТРИМЕТИЛСИЛИЛ-1-ПРОПИНА) С ИСПОЛЬЗОВАНИЕМ ВЫСОКОРЕАКЦИОННОСПОСОБНЫХ МЕТАЛЛИРУЮЩИХ АГЕНТОВ¹

© 2006 г. М. В. Чиркова, П. В. Пивоваров, Е. Г. Литвинова, В. С. Хотимский

Институт нефтехимического синтеза им. А. В. Топчиева

Российской академии наук
119991 Москва, Ленинский пр., 29

Поступила в редакцию 01.08.2005 г.
Принята в печать 17.11.2005 г.

Осуществлено металлизование поливинилтриметилсилана и поли(1-триметилсилил-1-пропина) с использованием в качестве металлирующих агентов хелатных комплексов нормального и вторичного бутиллития с тетраметилэтilenдиамином, а также “супероснований” на основе комплексов нормального и вторичного бутиллития и *трет*-пентилоксида калия. Определены оптимальные условия металлизования поливинилтриметилсилана и поли(1-триметилсилил-1-пропина), позволяющие получать металлизированные полимеры с высоким выходом без деградации макроцепей. Произведена функционализация поливинилтриметилсилана и поли(1-триметилсилил-1-пропина) по реакции металлизированных полимеров с CO₂, триметилсилилхлорсульфоном, диэтилдисульфидом и окисью этилена. В поливинилтриметилсилан были введены группы COOH, SO₃H и OH, а также тиоэфирные группы, в поли(1-триметилсилил-1-пропин) – группы SO₃H и COOH. Введение карбоксильных групп в поливинилтриметилсилан вызывает увеличение его гидрофильности и селективности разделения смесей H₂O/N₂, H₂O/H₂ и H₂O/CH₄. Введение групп SO₃H в поли(1-триметилсилил-1-пропин) и поливинилтриметилсилан приводит к появлению протонной проводимости этих полимеров.

ВВЕДЕНИЕ

Благодаря своим специфическим химическим и физико-химическим свойствам полимеры с функциональными группами используют в качестве материалов для полупроводниковых приборов, оптических волокон и оптических дисков, фотоматериалов, биологически активных соединений, а также в качестве катализаторов различных реакций, хроматографических сред, антиоксидантов и т.д. [1]. Полимеры с функциональными группами уже сейчас применяют для решения целого ряда задач мембранныго разделения. Так, использование полимеров с кислотными группами эффективно для создания протонопроводящих мембран для топливных элементов [2–9]. Полимеры, содержащие функциональные группы,

способные к специальному взаимодействию с целевым компонентом, применяют для разделения полярных газов [10, 11], выделения олефинов из смесей с парафинами [12–15] и органических соединений из водных смесей [16].

Кроме того, функциональные полимеры служат материалами для мембранных катализитических мембранных реакторов. Эти мембранны сочетают функцию разделения и катализическую активность [17–23].

Эффективность применения функциональных полимеров делает актуальной работу над возможностями расширения области их использования. Представляет интерес реализовать преимущества присутствия функциональных групп на высокопроницаемых полимерах, таких как поливинилтриметилсилан (**ПВТМС**) и дизамещенные поликацетилены, характеризующиеся на настоящий момент самыми высокими значениями коэффициентов проницаемости газов и паров органи-

¹ Работа выполнена при финансовой поддержке Российского фонда фундаментальных исследований (код проекта 03-03-32975).

E-mail: chirkova@ips.ac.ru (Чиркова Марина Витальевна).

ческих веществ [24]. Можно ожидать, что введение функциональных групп в поли(1-триметилсилил-1-пропин) (**ПТМСП**), имеющий рекордную паро- и газопроницаемость из всех известных полимеров, значительно улучшит его разделяющие характеристики без существенной потери в проницаемости.

Применение функциональных производных поликремнийуглеводородов сдерживается тем, что синтезировать их с помощью полимеризации функциональных мономеров ацетиленового и винилового ряда зачастую невозможно из-за взаимодействия функциональных групп с высокореакционноспособными металлоорганическими катализаторами, используемыми для полимеризации мономеров данного класса. Прямая химическая модификация ПВТМС и ПТМСП протекает с низким выходом [25, 26] и приводит к разрушению макроцепей полимера, в частности, из-за реакции β -распада, свойственной функциональным кремнийорганическим соединениям [27].

Лучшие результаты может дать двустадийная химическая модификация (первая стадия – металлизование полимера, вторая – замещение металла на функциональную группу). Этот путь позволяет контролировать количество введенных функциональных групп и их положение. В качестве металлирующих агентов можно использовать хелатные комплексы нормального и вторичного бутиллития, а также комплексы литийорганических соединений и аллоксидов щелочных металлов – так называемые супероснования, *in situ*, действующие как высокореакционноспособные металлирующие агенты [28–31].

Двустадийный процесс металлизования полимера хелатными комплексами бутиллития с последующей функционализацией металлоксодержащих промежуточных продуктов успешно использован для модификации ряда полимеров, например ПС, 1,4-*цис*-полибутадиена и 1,4-*цис*-полиизопрена [32–37]. Ранее этим же способом была предпринята функционализация ПТМСП с использованием в качестве металлирующего агента нормального бутиллития в полярной среде, а также в углеводородной среде с добавками электронодоноров [38, 39]. Однако степень металлизации полимера указанными системами оказалась низкой, вследствие чего удалось ввести в ПТМСП лишь незначительное количество

функциональных групп (не более 8 мол. % даже при трехкратном избытке металлирующего агента).

Цель настоящего исследования – разработка методов металлизирования и последующего введения функциональных групп в ПВТМС и ПТМСП, позволяющих получать производные этих полимеров, с различными функциональными группами в широком количественном интервале.

ЭКСПЕРИМЕНТАЛЬНАЯ ЧАСТЬ

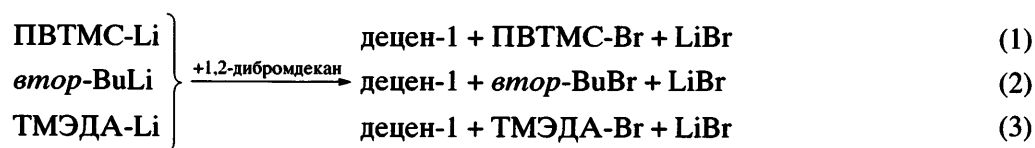
Используемые полимеры ПТМСП и ПВТМС получали по методике, разработанной ранее [40, 41]. ПТМСП был синтезирован на катализаторе NbCl_5 в толуоле, $M_w = (29.9\text{--}25.8) \times 10^3$, $M_n = (17 \times 10^4)\text{--}(16 \times 10^5)$, $[\eta] = 0.45\text{--}1.5$ дL/g, соотношение *цис*- : *транс*-структур в полимере = 60 : 40%. ПВТМС получали на катализаторе нормальный бутиллитий в циклогексане, $M_w = 8.3 \times 10^5$, $M_n = 5.2 \times 10^5$, $[\eta] = 1.3$ дL/g. Металлирующие агенты – *n*-BuLi (1.6 М раствор в гексане) и вторичный бутиллитий (2.5 М раствор в гексане) фирмы “Fluka” – применяли без дополнительной очистки. Алкоголят *трет*-пентилоксид калия (*трет*-PeOK) (0.2 М раствор в циклогексане) получали из третичного амилового спирта (фирма “Fluka”, 96.0%) [42]. Тетраметилэтилендиамин (ТМЭДА) фирмы “Fluka” (99.0%), trimethylchlorosilane фирмы “Fluka” (98.0%) и $(\text{CH}_3)_3\text{SiCH}_2\text{Cl}$ фирмы “Fluka” (98.0%) использовали без дополнительной очистки. Тяжелая вода D_2O производства открытого акционерного общества “Изотопы” (Санкт-Петербург), содержаниедейтерия 99%. 1,2-Дибромдекан фирмы “Fluka” (95.0%); trimethylsilylchlorosulfone фирмы “Aldrich” (99.0%); диэтилдисульфид фирмы “Aldrich”, 99%. Растворители гексан (99.5%), циклогексан (99.5%) и ТГФ (98.0%) применяли без дополнительной очистки, перед использованием гексан и циклогексан перегоняли над натрием, ТГФ – над гранулированным КОН, затем над натрием.

Металлизование ПВТМС и ПТМСП

Реакции металлизования проводили в вакуумированном аппарате, состоящем из реактора с магнитной мешалкой, отвода со шлифом и ампул с бывающими мембранными, содержащими растворитель, раствор металлирующего агента и реагенты

для определения степени металлирования полимера – хлорсиланы $(\text{CH}_3)_3\text{SiCl}$ и $(\text{CH}_3)_3\text{SiCH}_2\text{Cl}$, 1,2-дибромдекан или D_2O для спектроскопического установления факта протекания металлирования. В реактор загружали сухой измельченный полимер, вакуумировали и отпаивали от вакуумной установки. Через бьющуюся мембрану в реактор загружали растворитель. После растворения полимера в реактор вводили при интенсивном перемешивании раствор металлирующего агента. Через 2 ч металлирования в реактор через бьющуюся мембрану добавляли электрофильный реагент (хлорсилан или 1,2-дибромдекан, или D_2O). После обесцвечивания реакционную смесь высаждали в метanol, полимер выделяли на фильтре Шотта, сушили в вакууме до постоянной массы, взвешиванием определяли привес и рассчитывали степень металлирования полимера. Степень металлирования ПТМСП находили по привесу после реакции металлосодержащих по-

лимеров с $(\text{CH}_3)_3\text{SiCl}$ и $(\text{CH}_3)_3\text{SiCH}_2\text{Cl}$. Факт протекания металлирования устанавливали спектроскопически по реакции с D_2O . Оценку степени металлирования ПВТМС проводили методом газохроматографического количественного анализа продуктов взаимодействия избытка 1,2-дибромдекана с литийсодержащими компонентами реакционной смеси и определения количества децена-1, образовавшегося при взаимодействии литиированного ПВТМС с 1,2-дибромдеканом (схема (1)), что позволило судить о содержании лития в полимере. Для расчета количества децена-1, образовавшегося по схеме (1), из общего количества децена-1 вычитали ту его часть, которая получается из *втор*- BuLi и ТМЭДА- Li (схемы (2), (3)). Долю децена-1, образующегося по этим схемам, рассчитывали на основании количественного определения содержания соответствующих бромпроизводных.



Хроматографический анализ выполняли на хроматографе ЛХМ-8МД, колонка Carbovac 20М с неподвижной жидккой фазой, температура 210°C. Применение этого метода вместо реакции с хлорсиланом обусловлено затруднениями протекания реакции хлорсилана с полимером в высоковязкой реакционной смеси, образующейся при металлировании ПВТМС.

Функционализация металлизированных полимеров

ПВТМС и ПТМСП, содержащие группы COOH (карбоксилированные ПВТМС и ПТМСП), получали в условиях интенсивного механического смешения литиированного полимера с мелкодиспергированным твердым диоксидом углерода (“сухим льдом”) в ТГФ по методике [43]. Реакцию проводили в атмосфере аргона при постепенном повышении температуры от -78 до +20°C в течение 6 ч. При последующем подкислении муравьиной кислотой полимерлитиевую соль переводили в карбоксилированный полимер. Полимер очищали переосаждением из ТГФ в мета-

нол и тщательной отмыvkой на фильтре водой и метанолом.

Функционализацию ПТМСП и ПВТМС сульфогруппами осуществляли добавлением триметилсиликлхлорсульфона непосредственно в реактор после 2 ч металлирования. Обесцвеченную реакционную смесь высаждали в метanol, полимер выделяли на фильтре Шотта, сушили в вакууме до постоянной массы и определяли степень модификации по привесу.

ПВТМС, функционализированный группами OH, синтезировали по реакции литиированного полимера с окисью этилена по методике [44, 45]. Взаимодействие литиированного ПВТМС с жидккой окисью этилена проводили в атмосфере аргона в ТГФ при постепенном повышении температуры от -78 до +20°C в течение 4 ч. При синтезе использовали двухкратный избыток окиси этилена по отношению к связанному литию. Для перевода литийоксидной группы в гидроксильную применяли подкисление муравьиной кислотой.

Присутствие в полимерах карбоксильных и групп OH доказывали методами ИК-спектроско-

пии, присутствие алкилсилильных групп – по привесу и спектрам ЯМР ^1H . На ИК-спектре карбоксилированного полимера появляется отчетливая полоса в области 1709 см^{-1} , характерная для группы COOH. О присутствии групп $\text{C}_2\text{H}_5\text{S}$ свидетельствует появление в ИК-спектре полосы при $1310–1375 \text{ см}^{-1}$. На ИК-спектре полимера, функционализированного группами OH, появляется полоса при 3400 см^{-1} , характерная для группы OH. Содержание карбоксильных и гидроксильных групп определяли методами элементного анализа, содержание сульфогрупп – титрованием.

Методы исследования полимеров

Значения M_n и M_w находили методом ГПХ растворов полимеров в толуоле с использованием хроматографа марки “Waters” (колонка Chrompack microgel-5 mix R-401, детектор – дифференциальный рефрактометр “Waters” R-401, растворитель толуол, 25°C , скорость потока 1 мл/мин, стандарт ПС). Калибровочная кривая была построена в интервале $M_w = (4–1447) \times 10^3$.

Характеристическую вязкость растворов полимеров определяли в вискозиметре Оствальда–Уббелоде при 25°C в толуоле.

Спектры ЯМР растворов полимеров записывали на приборе MSh-300 (“Bruker”) 75.47 МГц.

ИК-спектры образцов ПВТМС и ПТМСП регистрировали в области $4000–400 \text{ см}^{-1}$ на ИК-Фурье спектрометре IFS-“Bruker”-113-V.

Термическую стабильность полимеров оценивали методами ДТА и ТГА, используя систему термического анализа TA 3000 фирмы “Mettler” (скорость подъема температуры 5 град/мин, скорость потока воздуха или азота $0.3 \times 10^{-5} \text{ м}^3/\text{с}$) и диватограф (запись термограмм проводили на воздухе при скорости нагревания 1–2 град/мин, масса исследуемого образца составляла 100–200 мг).

РСА проводили на стандартном рентгеновском дифрактометре ДРОН-1.5 с использованием фильтрованного (Ni-фильтр) медного (CuK_{α}) излучения ($\lambda = 0.154 \text{ нм}$) при комнатной температуре в режимах на пропускание и отражение. Образцы для РСА получали методом полива из растворов в виде пленок толщиной $\sim 100 \text{ мкм}$. Использовали образец, представляющий собой

набор из пяти параллельно сложенных пленок, размером $10 \times 10 \text{ мм}$.

Деформационно-прочностные характеристики функционализированного ПВТМС оценивали на приборе “Инстрон”, пленки толщиной 50–200 мкм деформировали при температуре 25°C и скорости растяжения 5 см/мин.

Газопроницаемость пленок определяли волюметрическим методом для индивидуальных газов при 25°C по методике [46], а также газохроматографическим [47] и масс-спектрометрическим методами [48]. Полимерные пленки для измерения газопроницаемости получали поливом из растворов полимеров в толуоле, CCl_4 и ТГФ на целлофан. Толщину пленок варировали от 30 до 70 мкм.

РЕЗУЛЬТАТЫ И ИХ ОБСУЖДЕНИЕ

В основу разработки методов двустадийной функционализации полимеров были положены наши предыдущие исследования по металлизации ПВТМС и ПТМСП [49, 50].

Установлено, что металлизование ПТМСП и ПВТМС можно осуществить как хелатными комплексами на основе нормального и вторичного бутиллития, так и супероснованиями.

Металлизование ПВТМС (схема (4), направление б), вне зависимости от используемых металлизирующих агентов, протекает в триметилсилильную группу, а для ПТМСП (схема (4), направление а) положение металлизации может меняться в зависимости от используемого металлизирующего агента и условий металлизации.

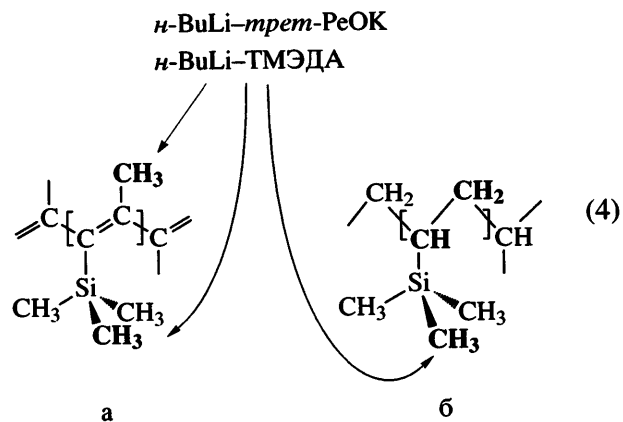


Таблица 1. Условия и результаты metallирования ПВТМС хелатным комплексом *втор*-BuLi–ТМЭДА (мольное соотношение компонентов metallирующего агента 1 : 1, время metallирования 2 ч, растворитель гексан, концентрация раствора полимера ~1.5 г/100 мл)

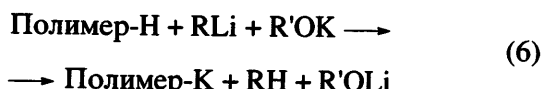
Мольное соотношение metallирующий агент : полимер	T, °C	Степень metallирования по реакции с 1,2-дибромдеканом, %
1.15	20	48
1.15	0	41
0.60	20	35
0.60	0	29

Металлизование ПТМСП при использовании *втор*-BuLi–ТГФ протекает преимущественно в метильные группы при двойной связи, а при использовании *n*-BuLi–ТМЭДА и *n*-BuLi–*трет*-PeOK – преимущественно в триметилсилильную группу. При использовании metallирующего агента *втор*-BuLi–*трет*-PeOK положение metallирования ПТМСП зависит от соотношения *втор*-BuLi–*трет*-PeOK – при соотношении 1 : 1 metallирование происходит преимущественно в метильную группу при двойной связи, а при соотношении 1 : 3 – преимущественно в триметилсилильную группу.

На первом этапе настоящей работы нами определены оптимальные условия metallирования

ПТМСП и ПВТМС (состав metallирующего агента, температурные условия, время реакции).

Металлизование ПТМСП и ПВТМС осуществляли с применением двух типов metallирующих агентов – нормального и вторичного BuLi в виде хелатного комплекса с ТМЭДА (схема (5)) и высокореакционноспособных супероснований на основе нормального и вторичного BuLi в комплексе с *трет*-PeOK (*трет*-пентилоксидом калия) (схема (6)). Выбор алкооксида *трет*-PeOK в качестве второго компонента супероснований обусловлен хорошей растворимостью этого алкооксида и его комплекса с нормальным и вторичным бутиллитием в углеводородной среде [27].



Условия и результаты metallирования ПТМСП и ПВТМС хелатными комплексами бутиллития представлены в табл. 1, супероснованиями – в табл. 2.

Оценку степени metallирования ПТМСП и ПВТМС проводили по реакции metallированного полимера с Me_3SiCl и $\text{Me}_3\text{SiCH}_2\text{Cl}$. Использование $\text{Me}_3\text{SiCH}_2\text{Cl}$ для целей оценки степени metallирования обусловлено тем, что Me_3SiCl не взаимодействует с ПТМСП, metallированным

Таблица 2. Условия и результаты metallирования ПТМСП и ПВТМС супероснованиями (растворитель циклогексан, время metallирования 2 ч, концентрация раствора полимера 1.5 г/100 мл)

Металлизующий агент*	Мольное соотношение metallизующий агент : полимер	T, °C	Степень metallирования, моль металла/осново-моль полимера	Выход металлоодержащего полимера, %
ПТМСП				
<i>n</i> -BuLi– <i>трет</i> -PeOK	1 : 1	65	0.83**	83**
	2 : 1	65	1.56**	78**
<i>втор</i> -BuLi– <i>трет</i> -PeOK	1 : 1	25	0.58***	58***
	2 : 1	25	1.08***	54***
ПВТМС				
<i>n</i> -BuLi– <i>трет</i> -PeOK	1 : 1	65	0.79**	79**
	2 : 1	65	1.55**	77**
<i>втор</i> -BuLi– <i>трет</i> -PeOK	1 : 1	25	0.43**	43**
	2 : 1	25	0.82**	41**

* Мольное соотношение компонентов metallизующего агента 1 : 1.

** Оценка по реакции с Me_3SiCl .

*** Оценка по реакции с $(\text{CH}_3)_3\text{SiCH}_2\text{Cl}$.

системами на основе *втор*-BuLi в углеводородной среде, хотя металлирование ПТМСП, по данным спектроскопии ЯМР ^2D продуктов дейтеролиза реакционной смеси, протекает. Причина отсутствия взаимодействия металлизированного ПТМСП с Me_3SiCl – стерические затруднения комплекса металлизированного полимера, образованного с участием вторичного бутиллития. Поэтому оценку эффективности указанных систем проводили по реакции металлизированного ПТМСП с $\text{Me}_3\text{SiCH}_2\text{Cl}$, который менее стерически затруднен. Предварительно было установлено, что в случае с ПТМСП, металлизированного супероснованием *n*-BuLi–*трет*-PeOK, реакционная способность $\text{Me}_3\text{SiCH}_2\text{Cl}$ оказалась близка к реакционной способности Me_3SiCl , и значения степени металлизации полимера, определенные по реакции с обоими хлорсиланами, практически совпадали.

Из табл. 1 и 2 следует, что степень металлизации полимера можно контролировать изменением условий реакции, и количество введенного в полимер металла может быть весьма значительным. Система *втор*-BuLi–ТМЭДА при металлизации ПВТМС позволяет ввести в полимер до 0.48 атомов лития на мономерное звено. При этом степень металлизации слабо зависит от соотношения металлирующий агент : мономерное звено полимера, если оно выше 1 : 2 (табл. 1).

Было установлено, что для металлизации ПТМСП системы *n*-BuLi–ТМЭДА малоэффективны (степень металлизации не превышает 3%). Системы на основе *втор*-BuLi–ТМЭДА вообще не металлируют ПТМСП. В то же время использование супероснований для металлизации ПТМСП эффективно (табл. 2) и позволяет вводить в ПТМСП до 0.83 атомов лития на мономерное звено (наиболее эффективная металлирующая система – *n*-BuLi–*трет*-PeOK).

При металлизации ПВТМС супероснованиями эффективность металлизации была близка к эффективности металлизации ПТМСП (табл. 2), наибольшая эффективность наблюдалась для системы *n*-BuLi–*трет*-PeOK.

Как для ПТМСП, так и для ПВТМС, при применении супероснования *втор*-BuLi–*трет*-PeOK металлизование (о котором судили по развитию окраски реакционной смеси) успешно протекало

Таблица 3. Зависимость степени замещения и выхода металлизированного полимера от времени для супероснований с соотношением *n*-BuLi : *трет*-PeOK = 1 : 1 и 1 : 3

Время, мин	Степень металлизации, моль металла/осново-моль полимера	Выход металлизированного полимера, % (по реакции с три-метилхлорсиланом)
2	0.22/1.75	22/58
8	0.33/1.72	33/57
15	0.57/1.81	57/60
40	0.73/1.76	73/59
90	0.82/1.95	82/65

Примечание. В числителе ПТМСП : *n*-BuLi : *трет*-PeOK = 1 : 1 : 1, в знаменателе – ПТМСП : *n*-BuLi : *трет*-PeOK = 1 : 1 : 3.

при комнатной температуре и достигало высоких выходов за 1.5–2 ч. В случае использования супероснования *n*-BuLi–*трет*-PeOK металлизование при комнатной температуре развивалось медленно, выход модификации при металлизации 3–4 ч не превышал 45–55%. Рост температуры до 65°C приводит к увеличению выхода до 85%. Дальнейшее повышение температуры уменьшает выход металлизированного полимера до 35%, что может быть обусловлено разложением металлоорганического комплекса. Поэтому температура 25°C оптимальна для металлизации ПТМСП и ПВТМС системой *втор*-BuLi–*трет*-PeOK, а в случае использования *n*-BuLi–*трет*-PeOK для металлизации обоих полимеров – температура 65°C.

Для наиболее эффективной металлирующей системы *n*-BuLi–*трет*-PeOK был проведен поиск наилучшего состава супероснования. При изучении зависимости степени металлизации ПТМСП от времени (табл. 3) с использованием супероснования *n*-BuLi–*трет*-PeOK, было установлено, что при использовании супероснования с соотношением 1 : 1 степень замещения, близкая к теоретической, достигается за 90 мин. Также было показано, что при том же соотношении металлирующий агент : полимер степень металлизации возрастает с увеличением доли *трет*-PeOK в суперосновании. Результаты табл. 3 можно объяснить исходя из предположения, что одна единица литийорганического соединения может координировать три единицы калийорганического соединения [51, 52]. Следовательно, для супероснования с соотношением компонен-

Таблица 4. Влияние металлизирования на вязкость ПТМСП и ПВТМС (время металлизирования 2 ч, дезактивацию металлосодержащего полимера осуществляли по реакции с водой)

Мольное соотношение полимер : металлирующий агент	Условия металлизирования		Характеристическая вязкость $[\eta]$, дл/г
	растворитель	T, °C	
Исходный ПТМСП	—	—	0.45
ПТМСП : n-BuLi = 1 : 1	ТГФ	0	0.41
ПТМСП : втор-BuLi = 1 : 1	»	0	0.352
ПТМСП : n-BuLi : ТМЭДА = 1 : 1 : 1	Гексан	65	0.23
ПТМСП : втор-BuLi : ТМЭДА = 1 : 1 : 1	»	65	0.25
ПТМСП : n-BuLi : tпtпt-PeOK = 1 : 1 : 1	Циклогексан	65	0.38
ПТМСП : втор-BuLi : tпtпt-PeOK = 1 : 1 : 1	»	25	0.43
ПТМСП : n-BuLi : tпtпt-PeOK = 1 : 2 : 6	»	65	0.23
ПТМСП : втор-BuLi : tпtпt-PeOK = 1 : 2 : 6	»	25	0.31
Исходный ПВТМС	—	—	1.30
ПВТМС : n-BuLi : ТМЭДА = 1 : 1 : 1	Гексан	25	1.26
ПВТМС : втор-BuLi : ТМЭДА = 1 : 1 : 1	»	25	1.22
ПВТМС : n-BuLi : tпtпt-PeOK = 1 : 2 : 6	Циклогексан	65	0.87
ПВТМС : втор-BuLi : tпtпt-PeOK = 1 : 2 : 6	»	25	0.92

тов n-BuLi : tпtпt-PeOK = 1 : 3 вероятно образование сложного комплекса металлизированного супероснованием субстрата, в котором происходит стехиометрическое участие алcoxида калия в реакции металлизирования.

Поскольку значения степени металлизирования ПТМСП и ПВТМС при одинаковых условиях металлизирования близки (табл. 2), наилучшими условиями металлизирования ПВТМС супероснованиями можно считать условия, оптимальные при металлизации ПТМСП.

Для практического использования металлизации в двустадийной химической модификации важно также, чтобы во время модификации не происходило существенной деградации полимера. В табл. 4 представлены значения характеристической вязкости ПВТМС и ПТМСП до и после металлизации хелатными комплексами бутиллития с ТМЭДА и супероснованиями. Видно, что для ПВТМС и ПТМСП изменение вязкости при металлизации и, следовательно, деградация полимера незначительны. При этом подвергнутые металлизации полимеры образуют пленки с механической прочностью, близкой к прочности пленок исходных полимеров.

При получении функциональных полимеров использовали выбранные условия металлизации, а именно, для металлизации ПВТМС хе-

латные комплексы бутиллития, температуру 25°C, время металлизации 2 ч. ПТМСП оптимально металлизуется супероснованиями при 65°C; время металлизации 2 ч.

Для получения ПТМСП и ПВТМС с функциональными группами COOH, SO₃H, C₂H₅S и OH были использованы реакции металлизированных полимеров с твердой углекислотой, trimetilsilylхлорсульфоном, диэтилсульфидом и жидкой окисью этилена.

Результаты функционализации ПТМСП и ПВТМС представлены в табл. 5–8. Для функционированных полимеров были оценены свойства, важные с точки зрения мембранных применения.

В зависимости от содержания и химического строения функциональных групп полимеры обладают различной растворимостью. ПВТМС, содержащий до 20% карбоксильных групп, растворим в ТГФ и не растворим в других обычных органических растворителях. При более высоком содержании карбоксильных групп полимер полностью теряет растворимость. ПТМСП с содержанием карбоксильных групп до 5% растворим исключительно в ТГФ. Для карбоксилированного ПТМСП потеря растворимости наступает с введением 5% групп COOH. Причина потери растворимости полимеров с карбоксильными группами

Таблица 5. Синтез ПВТМС и ПТМСП, функционализированных группами COOH (время металлизирования 1.5 ч, электрофильный реагент – твердый CO₂, смешанный с ТГФ, время реакции с CO₂ – 6 ч, соотношение CO₂ : полимер = 3 : 1)

Мольное соотношение металлирующий агент : полимер	Степень функционализации, мол. %	Выход функционированного полимера, %
ПВТМС, металлирующий агент <i>втор</i> -BuLi-TMЭДА (1 : 1)		
0.023	2	2
0.05	4	4
0.10	8	8
0.20	15	15
0.40	30	30
0.60	40	40
ПТМСП, металлирующий агент <i>втор</i> -BuLi- <i>трет</i> -PeOK (1 : 1)		
0.05	3	3
0.10	5	5
0.20*	10	10

*Мольное соотношение компонентов металлирующего агента *втор*-BuLi : *трет*-PeOK = 1 : 3.

пами заключается, вероятно, в увеличении межмолекулярного взаимодействия макроцелей с введением полярных групп. Это явление сильнее проявляется для ПТМСП, имеющего больший размер термодинамического сегмента (90×10^{-8} см)

[53], чем для гибкоцепного ПВТМС (размер термодинамического сегмента 16×10^{-8} см) [54].

По данным РСА, растворимые карбоксилсодержащие ПТМСП и ПВТМС представляют собой аморфные пленкообразующие полимеры; их механические и термические характеристики близки к характеристикам исходных полимеров. В случае ПВТМС при введении карбоксильных групп наблюдается некоторое увеличение эластичности пленки – относительное удлинение при разрыве до определенного момента возрастает с повышением содержания карбоксильных групп в полимере (табл. 9).

Термические свойства функционализированных ПТМСП и ПВТМС близки к таковым для исходных полимеров. Так, начало потери массы карбоксилированного ПВТМС при нагревании на воздухе наблюдается при температуре ~220°C, для исходного ПВТМС – при 240°C [55]. Для ПТМСП, содержащего группы COOH, начало потери массы при нагревании на воздухе происходит при ~260°C, для исходного ПТМСП – при ~290°C. Температура стеклования ПВТМС, по данным ДСК, изменяется со степенью функционализации от 170°C для исходного полимера до 200°C для ПВТМС с 20% карбоксильных групп.

Таблица 6. Синтез ПТМСП и ПВТМС, функционализированных сульфогруппами (время металлизирования 2 ч, электрофильный реагент триметилсилилхлорсульфон, время реакции 30 мин, соотношение триметилсилилхлорсульфон : полимер = 3 : 1, мольное соотношение *n*-BuLi : *трет*-PeOK = 1 : 3)

Мольное соотношение металлирующий агент : полимер	Степень функционализации, моль функциональных групп/осново-моль полимера		Выход функционированного полимера по привесу, %
	по привесу	по титрованию	
ПВТМС			
0.533	0.32	0.31	81
1	0.52	0.63	69
1.08	0.74	0.80	75
1.87*	0.99	1.02	80
2	1.12	1.30	75
4	2.63	–	87
ПТМСП			
0.20	0.08	0.092	81
0.36**	0.23	0.23	80
0.68	0.43	0.42	80
1.33	0.71	0.75	71
1.35***	0.79	1.08	71
2.94	1.97	2.14	74

* Мольное соотношение *n*-BuLi : *трет*-PeOK = 1 : 2, ** 1 : 4 и *** 1 : 5.

Таблица 7. Синтез ПВТМС, функционализированного группами C_2H_5S (металлирующий агент *втор*-BuLi-TMЭДА, мольное соотношение *втор*-BuLi : TMЭДА = 1 : 1, время металлизации 1.5 ч, электрофильный реагент $(C_2H_5S)_2$ (раствор в гексане), время реакции 2 ч, соотношение $(C_2H_5S)_2$: полимер = 2 : 1)

Мольное соотношение металлирующий агент : полимер	Степень функционализации, мол. %	Выход функционализированного полимера, %
0.10	4	4
0.15	10	10
0.25	17	17
0.50	36	36

Таблица 8. Синтез ПВТМС, функционализированного группами OH (металлирующий агент *втор*-BuLi-TMЭДА, мольное соотношение *втор*-BuLi : TMЭДА = 1 : 1, время металлизации 1.5 ч, электрофильный реагент жидккая окись этилена (раствор в ТГФ), время реакции 4 ч, соотношение окись этилена : моль полимерсвязанного лития = 2 : 1)

Мольное соотношение металлирующий агент : полимер	Степень функционализации, мол. %	Выход функционализированного полимера, %
0.047	1.5	1.5
0.114	4	4
0.202	9	9
0.266	12	12
0.38	18	18

Таблица 9. Механические свойства пленок карбоксилированного ПВТМС

Содержание групп COOH, %	Относительное удлинение при разрыве ϵ_p , %	Прочность на разрыв σ_p , МПа
0	3	25
4	5.2	25
8	12.1	24
10	19.5	23
16	16.4	21
30	7.3	15

Для ПВТМС с различным содержанием карбоксильных групп была изучена газопроницаемость (табл. 10). Видно, что введение до 4% карбоксильных групп мало изменяет характеристики проницаемости ПВТМС. С введением 8% и более карбоксильных групп проницаемость по водоро-

ду, азоту, метану и этану несколько понижается, однако это понижение невелико. Существенное уменьшение проницаемости карбоксилированного ПВТМС проявляется при содержании групп COOH более 30%. Сохранение высоких значений проницаемости в сочетании с повышенной устойчивостью к органическим растворителям делает карбоксилированный ПВТМС перспективным для разделения смесей, содержащих углеводороды. Влияние специфического взаимодействия карбоксильных групп с полярными соединениями проявляется в том, что проницаемость по парам воды для карбоксилированного ПВТМС (8% групп COOH и выше) существенно возрастает по сравнению с исходным. В сочетании с незначительным изменением проницаемости неполярных газов это приводит к заметному увеличению селективности разделения пар H_2O/N_2 , H_2O/H_2 и H_2O/CH_4 .

Для ПТМСП влияние групп COOH на газопроницаемость при их содержании 3–5%, при которых еще сохраняется растворимость полимера, не обнаруживается.

ПТМСП и ПВТМС сохраняют пленкообразующие свойства даже при введении значительного количества SO_3H -групп. ПВТМС сохраняет растворимость в ТГФ при содержании до 1 моля сульфогрупп/осново-моль полимера, а ПТМСП – до 2.5 моля сульфогрупп/осново-моль полимера. Введение сульфогрупп в ПТМСП и ПВТМС приводит к появлению протонной проводимости этих полимеров, которая возрастает с увеличением содержания сульфогрупп в полимере. Так, протонная проводимость ПТМСП и ПВТМС, содержащих 1 моль сульфогрупп/осново-моль полимера, составляет 125 мкСм/см (измерено при 50°C и относительной влажности 100%), для полимера со степенью замещения 1.2 моля сульфогрупп/осново-моль полимера – 130 мкСм/см, для полимера со степенью замещения 2.20 моля сульфогрупп/осново-моль полимера – 230 мкСм/см.

Таким образом, разработан двустадийный метод модификации ПВТМС и ПТМСП, основанный на металлизации полимеров высокореакционноспособными агентами на основе литий- и калийорганических соединений различного строения – супероснованиями и хелатными комплексами алкилов лития. В зависимости от выбранных условий и металлирующих, агентов разработанные методы позволяют осуществлять

Таблица 10. Газопроницаемость карбоксилированного ПВТМС

Содержание групп COOH, мол. %	Газопроницаемость, Баррер					α_{H_2O/H_2}	α_{H_2O/N_2}	α_{H_2O/CH_4}
	P _{H₂}	P _{N₂}	P _{C₂H₆}	P _{CH₄}	P _{H₂O}			
0	210	12	8	19	1040	5	87	55
4	200	11	8	18	1300	6.5	118	72
8	200	7	7	14	2900	14.5	414	207
15	122	5	6	8	3960	32	792	495
30	102	4	5	6	—	—	—	—

металлизование полимеров в различные положения и с разным содержанием металла в металлизированном полимере. Электрофильным замещением металла в полимере получены ПВТМС и ПТМСП, содержащие группы COOH, SO₃H и OH, присутствие которых может быть использовано для целенаправленного регулирования мембранных свойств ПВТМС и ПТМСП.

Авторы выражают благодарность В.В. Теплякову и Ю.П. Ямпольскому за исследование газопроницаемости полимеров, Г.Н. Бондаренко и А.И. Реброву – за проведение ИК- и ЯМР-спектроскопических исследований.

СПИСОК ЛИТЕРАТУРЫ

1. Akelah A., Moet A. Functionalized Polymers and their Applications. London: Chapman and Hall, 1990.
2. Kerres J.A. // J. Membr. Sci. 2001. V. 185. № 1. P. 3.
3. Stone C., Daynard T.S., Hu L.Q., Mah C., Steck A.E. // J. New Mater. Electrochem. Systems. 2000. V. 3. № 1. P. 43.
4. Yamabe M., Akiyama K., Akatsuka Y., Kato M. // Eur. Polym. J. 2000. V. 36. № 4. P. 1035.
5. Kreuer K.D. // J. Membr. Sci. 2001. V. 185. № 1. P. 29.
6. Adhikari B., De D., Maiti S. // Prog. Polym. Sci. 2000. V. 25. № 1. P. 909.
7. Allcock H.R., Hofmann M.A., Catherine M., Ambler C.M., Lvov S.N., Zhou X.Y., Chalkova E., Weston J. // J. Membr. Sci. 2002. V. 201. № 1–2. P. 47.
8. Cornet N., Beaudoin G., Gebel G. // Separ. Purif. Tech. 2001. V. 22–23. № 1. P. 681.
9. Su W.-Y., Wang Y., Min K., Quirk R.P. // Polymer. 2001. V. 42. № 3. P. 5107.
10. Senthilkumar U., Reddy B.S.R. // J. Membr. Sci. 2004. V. 232. № 1–2. P. 73.
11. Matsuyama H., Teramoto M., Iwai K. // J. Membr. Sci. 1994. V. 93. № 3. P. 237.
12. Kim J.H., Min B.R., Won J., Kim C.K., Kang Y.S. // J. Polym. Sci., Polym. Phys. 2004. V. 42. № 4. P. 621.
13. Kim J.H., Min B.R., Won J., Kang Y.S. // J. Membr. Sci. 2003. V. 237. № 1–2. P. 199.
14. Pinna I., Toy L.G. // J. Membr. Sci. 2001. V. 184. № 1. P. 39.
15. Kim J.H., Min B.R., Won J., Kang Y.S. // Macromolecules. 2003. V. 36. № 12. P. 4577.
16. Jaber A.M.Y., Ali S.A., Yahaya G.O. // J. Membr. Sci. 2005. V. 250. № 1–2. P. 85.
17. Vankelecom I.F.J. // Chem. Rev. 2002. V. 102. № 6. P. 3779.
18. Bagnell L., Cavell K., Hodges A.M., Mau A.W.-H., Seen A.J. // J. Membr. Sci. 1993. V. 85. № 3. P. 291.
19. Liu Q., Jia P., Chen H. // J. Membr. Sci. 1999. V. 159. № 1–2. P. 233.
20. Song J. // Catal. Lett. 1991. V. 9. № 5–6. P. 339.
21. Solovieva A.B., Belkina N.V., Vorobiev A.V. // J. Membr. Sci. 1996. V. 110. № 2. P. 253.
22. Lee J.K., Song I.K., Lee W.Y. // Catal. Today. 1995. V. 25. № 1. P. 345.
23. Lee J.K., Song I.K., Lee W.Y. // Catal. Lett. 1994. V. 29. № 1. P. 241.
24. Nagai K., Masuda T., Nakagawa T., Freeman B.D., Pinna I. // Prog. Polym. Sci. 2001. V. 26. № 1. P. 721.
25. Nagai K., Higuchi A., Nakagawa T. // J. Appl. Polym. Sci. 1994. V. 54. № 9. P. 1207.
26. Nagai K., Higuchi A., Nakagawa T. // J. Appl. Polym. Sci. 1994. V. 54. № 9. P. 1353.
27. Петров А.Д., Миронов В.Ф., Чернышев Б.А., Пономаренко В.А. // Синтезы кремнийорганических мономеров. М.: Наука, 1961. С. 88.
28. Lochmann L., Fréchet J.M.J. // Macromolecules. 1996. V. 29. № 5. P. 1767.

29. *Lochmann L., Wooley K.L., Ivanova P.T., Fréchet J.M.J.* // *J. Am. Chem. Soc.* 1993. V. 115. № 15. P. 7043.
30. *Lochmann L., Fréchet J.M.J., Wooley K.L., Smigol V.* // *Polym. Mater. Sci. Eng.* 1993. V. 69. № 1. P. 426.
31. *Lochmann L., Trekoval J.* // *Collect. Czech. Chem. Commun.* 1988. V. 53. № 1. P. 76.
32. *Chalk A.J.* // *Polym. Lett.* 1968. V. 6. № 1. P. 649.
33. *Borg Warner Corp. Brit. Pat. 1,172,477.* 1969.
34. Ямпольская М.А., Охлобыстин О.Ю., Давыдова С.Л., Платэ Н.А. // Высокомолек. соед. 1966. Т. 8. № 4. С. 771.
35. *Minoura Y., Shina K., Harada H.* // *J. Polym. Sci., Polym. Chem.* 1968. V. 6. № 3. P. 559.
36. *Evans D.C.* // *J. Polym. Sci., Polym. Chem.* 1974. V. 12. № 1. P. 247.
37. *Tata N., Halasa S.* // *J. Polym. Sci., Polym. Chem.* 1971. V. 9. № 1. P. 139.
38. *Nagase Y., Sugimoto K., Takamura Y., Matsui K.* // *J. Appl. Polym. Sci.* 1991. V. 42. № 1. P. 185.
39. *Nagase Y., Sugimoto K., Takamura Y., Matsui K.* // *J. Appl. Polym. Sci.* 1991. V. 43. № 7. P. 1227.
40. *Khotimsky V.S., Tchirkova M.V., Litvinova E.G., Rebrov A.I., Bondarenko G.N.* // *J. Polym. Sci., Polym. Chem.* 2003. V. 41. № 14. P. 2133.
41. Наметкин Н.С., Дургарьян С.Г., Хотимский В.С. // *Докл. АН СССР.* 1966. Т. 166. № 10. С. 1118.
42. *Lochmann L., Jakubuv H., Brandsma L.* // *Collect. Czech. Chem. Commun.* 1993. V. 58. № 5. P. 1445.
43. *Young R.N., Quirk R.P., Fetter L.J.* // *Adv. Polym. Sci.* 1984. № 1. P. 56.
44. *Farralle M.S., Frechet M.S.* // *J. Org. Chem.* 1976. V. 41. № 24. P. 3877.
45. *Frechet M.S., de Smet M.D., Farralle M.S.* // *Polymer.* 1979. V. 20. № 6. P. 675.
46. Чиркова М.В. Дис. ... канд. хим. наук. М.: ИНХС РАН, 2004.
47. Теляков В.В., Евсеенко А.Л., Новицкий Э.Г., Дургарьян С.Г. // *Пласт. массы.* 1978. № 5. С. 49.
48. Ямпольский Ю.П., Новицкий Э.Г., Дургарьян С.Г. // *Завод. лаб.* 1980. № 3. С. 256.
49. Воронцов В., Хотимский В., Дургарьян С., Крапивин А. // *Изв. АН СССР. Сер. хим.* 1980. № 5. С. 1147.
50. Хотимский В.С., Пивоваров П.В. // *Изв. РАН. Сер. хим.* 2002. Т. 51. № 12. Р. 2088.
51. *Wilhelm D., Clark T., Schleyer P.v.R., Courtneidge J.L., Davies A.G.* // *J. Am. Chem. Soc.* 1984. V. 106. № 2. P. 361.
52. *Lochmann L.* // *Eur. J. Inorg. Chem.* 2000. № 6. P. 1115.
53. Штеникова И.Н., Колбина Г.Ф., Хотимский В.С., Литвинова Е.Г., Платэ Н.А. // Высокомолек. соед. 1998. Т. 40. № 10. С. 1569.
54. *Stennikova I.N., Kolbina G.F., Yakimansky A.V., Plate N.A., Khotimsky V.S., Litvinova E.G.* // *Eur. Polym. J.* 1999. V. 35. № 3. P. 2073.
55. Хотимский В.С. Дис. ... канд. хим. наук. М.: ИНХС РАН, 1967.

Chemical Modification of Poly(vinyltrimethylsilane) and Poly(1-trimethylsilyl-1-propyne) Using Highly Reactive Metallating Systems

M. V. Chirkova, P. V. Pivovarov, E. G. Litvinova, and V. S. Khotimskii

*Topchiev Institute of Petrochemical Synthesis, Russian Academy of Sciences,
Leninskii pr. 29, Moscow, 119991 Russia*

Abstract—Poly(vinyltrimethylsilane) and poly(1-trimethylsilyl-1-propyne) are metallated using normal and secondary butyllithium chelate complexes with tetramethylethylenediamine and superbases based on complexes of normal and secondary butyllithium with potassium *tert*-pentoxide as metallating agents. Optimal conditions ensuring metallation of poly(vinyltrimethylsilane) and poly(1-trimethylsilyl-1-propyne) with a high yield without degradation of macrochains are determined. Poly(vinyltrimethylsilane) and poly(1-trimethylsilyl-1-propyne) are functionalized via reactions of metallated polymers with CO₂, trimethylsilyl chlorosulfone, diethyl disulfide, and ethylene oxide. COOH, SO₃H, OH, and thioester groups are introduced into poly(vinyltrimethylsilane), and SO₃H and COOH groups are incorporated into poly(1-trimethylsilyl-1-propyne). Upon introduction of carboxyl groups into poly(vinyltrimethylsilane), its hydrophilicity and permselectivity with respect to H₂O/N₂, H₂O/H₂, and H₂O/CH₄ pairs increase. The introduction of SO₃H groups into poly(1-trimethylsilyl-1-propyne) and poly(vinyltrimethylsilane) leads to the appearance of proton conductivity of these polymers.